

TAVOLE

TAVOLA I

- Fig.1 - Calcare bioclastico con clasti arrotondati e laminazioni incrociate indicanti condizioni di elevata energia in contesto di margine di piattaforma. Forchetta Moretti, Monti d'Ocre (Appennino centrale);
- fig. 2 - Sezione radiale della valva destra a forma conica di *Himeraelites* sp. in calcare bioclastico. Forchetta Moretti, Monti d'Ocre (Appennino centrale);
- fig. 3 - Sezione trasversale subovale della valva destra di *Himeraelites* sp. in calcare bioclastico. Forchetta Moretti, Monti d'Ocre (Appennino centrale);
- fig. 4 - Valva destra, fissa al substrato e originariamente aragonitica, di *Himeraelites meghistoconchus* vista dall'alto. Il dente centrale (DC) è ben sviluppato. Collezione Parona, Università di Torino, prob. da Le Quartora, Monti d'Ocre;
- fig. 5 - Sezione trasversale obliqua della valva sinistra, originariamente aragonitica, di *Offneria italica* percorsa da canali palleali (C). Forchetta Moretti, Monti d'Ocre (Appennino centrale);
- fig. 6 - Panoramica del versante meridionale del M.Orsello, il livello bauxitico (secondo *datum plane*) è visibile in basso a sinistra. Monti d'Ocre (Appennino centrale);
- fig. 7 - Calcare a tessitura fango-sostenuta con gusci di radiolitidi e di requienidi a guscio calcitico sottile (Re). M. Orsello, Monti d'Ocre (Appennino centrale);
- fig. 8 - Calcare a tessitura fango-sostenuta, laminata nella parte inferiore, con *bouquets* di *Biradiolites angulosus*. Dettaglio di piccolo *Hippurites* cf. *requieni* nel riquadro a destra (a). M. Orsello, Monti d'Ocre (Appennino centrale).

PLATE I

- Fig. 1 - Bioclastic limestone with rounded clasts and with crossed laminations of high energy in platform margin complex. Forchetta Moretti, Ocre Mountains (central Apennines);
- fig. 2 - Radial section of the conical right valve of *Himeraelites* sp. in bioclastic limestone. Forchetta Moretti, Ocre Mountains (central Apennines);
- fig. 3 - Suboval transverse section of the right valve of *Himeraelites* sp. in bioclastic limestone. Forchetta Moretti, Ocre Mountains (central Apennines);
- fig. 4 - Right valve, fixed to the substrate and originally aragonitic of *Himeraelites meghistoconchus* seen from above. Central tooth (DC) is well developed. Collezione Parona, Università di Torino. Probably from Le Quartora, Ocre Mountains;
- fig. 5 - Oblique transverse section of the left valve, originally aragonitic, of *Offneria italica* with pallial canals (C). Forchetta Moretti, Ocre Mountains (central Apennines);
- fig. 6 - Panoramic view of the southern side of Orsello Mt., the bauxitic beds (second datum plane) are observable in the lower left hand. Ocre Mountains (central Apennines);
- fig. 7 - Radiolitid and rare thin-shelled requienids (Re) with calcite shells set in mud-supported limestone. Orsello Mt., Ocre Mountains (central Apennines);
- fig. 8 - *Biradiolites angulosus* bouquets in mud-supported limestone with laminations in the lower part. Detail of a small *Hippurites* cf. *requieni* in the inset (a). Orsello Mt., Ocre Mountains (central Apennines).

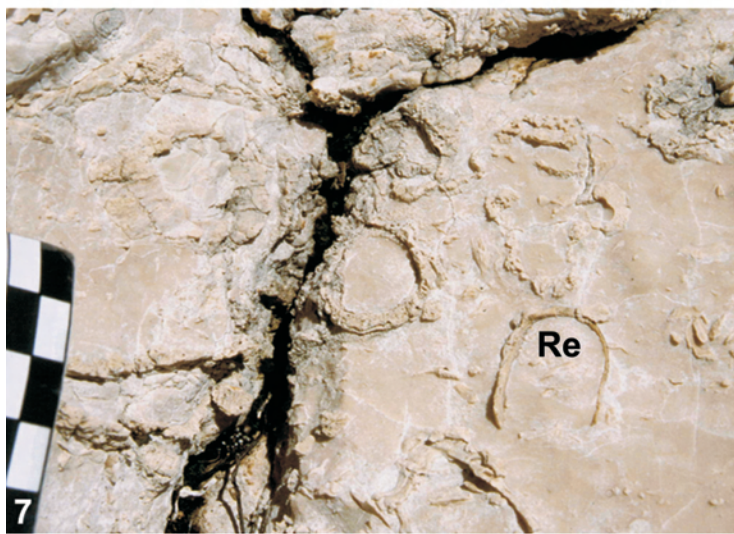
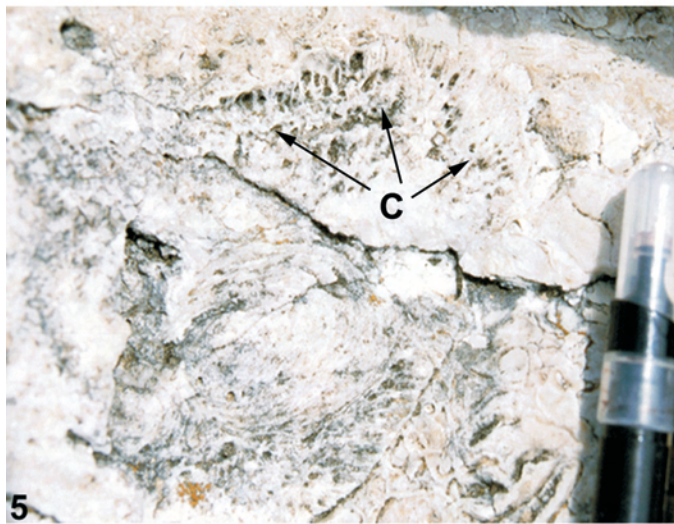
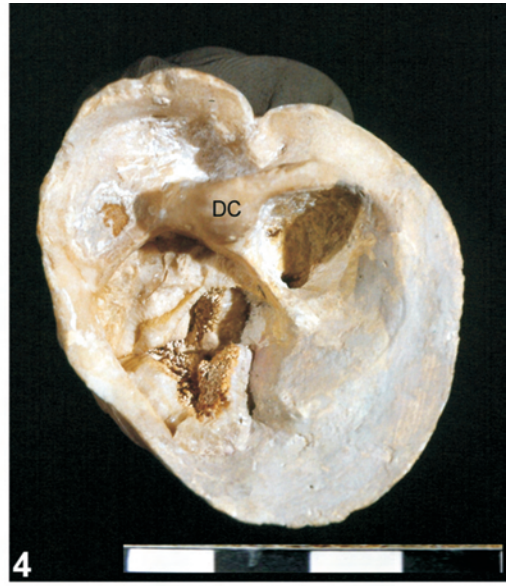
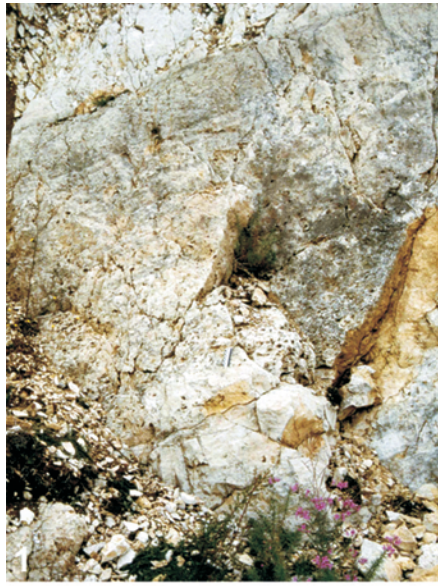


TAVOLA II

- Fig. 1 - Successione carbonatica analizzata lungo l'acquedotto di Casamaina (linea tratteggiata). Monte Rotondo, Monti d'Ocre (Appennino centrale);
- fig. 2 - Livello bioclastico della Facies Urganiana con caprinidi, possono essere riconosciute due valve in sezione trasversale obliqua di *Offneria italica*. M. Rotondo, Monti d'Ocre (Appennino centrale).
- fig. 3 - Cluster monospecifico di caprotinidi allungati (*Agriopleura* sp.). M. Rotondo, Monti d'Ocre (Appennino centrale);
- fig. 4 - Calcere a tessitura fango-sostenuta con gusci a struttura calcitica cellulare di radiolitidi (*Eoradiolites* cf. *plicatus*). M. Rotondo, Monti d'Ocre (Appennino centrale);
- fig. 5 - Calcere a tessitura fango-sostenuta con Requienidi (*Apricardia* sp., Re) incrostanti i gusci allungati di Ostreidi (*Chondrodonta*, Co). M. Rotondo, Monti d'Ocre (Appennino centrale);
- fig. 6 - Livelli finemente bioclastici a frammenti di radiolitidi intercalati a calcari a tessitura fangosotenuta. M. Rotondo, Monti d'Ocre (Appennino centrale);
- fig. 7 - Bouquet di tre individui di *Sauvagesia tenuicostata* completi di entrambe le valve visto in sezione trasversale obliqua. M. Rotondo, Monti d'Ocre (Appennino centrale);
- fig. 8 - Sezione trasversale della valva destra di *Lapeirousella* sp. con, ben evidenti, i due pseudopilastri (ps) marcati dall'invaginazione del guscio. M. Rotondo, Monti d'Ocre (Appennino centrale);

PLATE II

- Fig.1 - Carbonate succession studied along the Casamaina aqueduct (dashed line). Rotondo Mt., Ocre Mountains (central Apennines);
- fig. 2 - Bioclastic bed of the Urganian Facies with caprinids, two transverse oblique sections of *Offneria italica* can be seen. Rotondo Mt., Ocre Mountains (central Apennines);
- fig. 3 - Monospecific cluster with elongate caprotinids (*Agriopleura* sp.). Rotondo Mt., Ocre Mountains (central Apennines);
- fig.4 - Mud-supported limestone with cellular calcite-shelled radiolitids (*Eoradiolites* cf. *plicatus*). Rotondo Mt., Ocre Mountains (central Apennines);
- fig. 5 - Mud-supported limestone with requienids (*Apricardia* sp., Re) encrusting elongate ostreid (*Chondrodonta*, Co) shells. Rotondo Mt., Ocre Mountains (central Apennines);
- fig. 6 - Mud-supported limestone with intercalations of fine bioclastic beds with radioliid fragments. Rotondo Mt., Ocre Mountains (central Apennines);
- fig. 7 - Transverse-oblique section of a bouquet of *Sauvagesia tenuicostata* composed of three specimens with both the valves. Rotondo Mt., Ocre Mountains (central Apennines);
- fig. 8 - Transverse section of the right valve of *Lapeirousella* sp. with the two pseudopillars (ps) marked by the deep invagination of the shell. Rotondo Mt., Ocre Mountains (central Apennines);

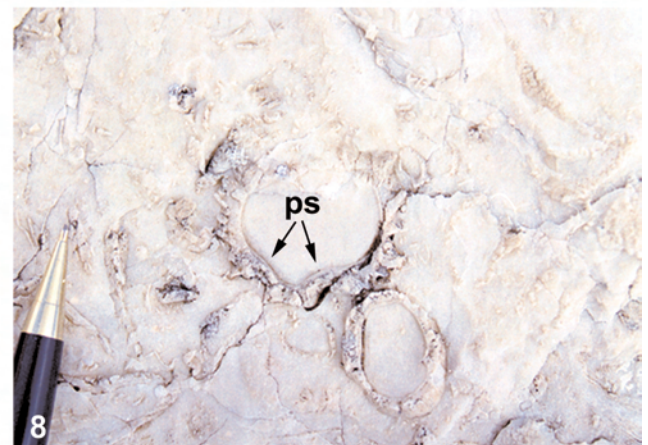
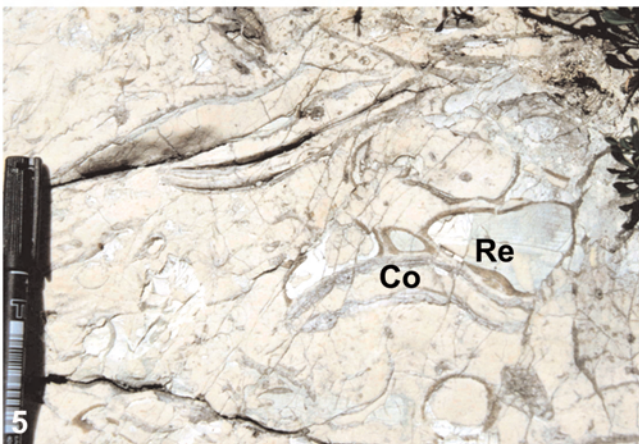
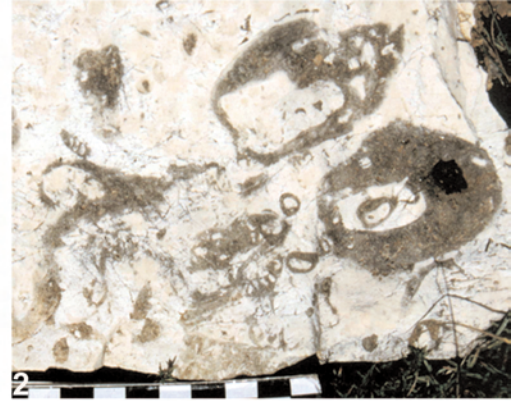
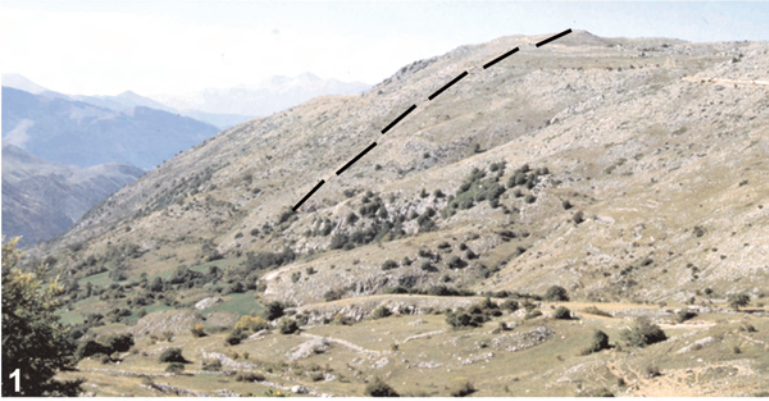


TAVOLA III

- Fig. 1 - Calcare bioclastico a stratificazione massiva con valve superiori di radiolitidi tipo “*Kuehnia sp.*”, prevalentemente a struttura calcitica, percorse da canali (centro della foto, C). Santa Maria dei Bisognosi, Monti Affilani (Appennino centrale);
- fig. 2 - Calcare bioclastico con valva di radiolitide interessata da particolari escrescenze tubulari, tipiche di *Pseudopolyconites sp.* (Ps), atte a stabilizzare l'organismo nel sedimento. Santa Maria dei Bisognosi, Monti Affilani (Appennino centrale);
- fig. 3 - Sezione trasversale della valva sinistra dell'olotipo di *Sabinia sublacensis* percorsa dal complesso sistema di canali nello strato aragonitico del guscio. Cave di Pietra, Subiaco (Appennino centrale). Peel, Collezione Parona, Università di Torino;
- fig. 4 - Vista laterale dell'olotipo di *Sabinia sublacensis* completo di entrambe le valve. Cave di Pietra, Subiaco (Appennino centrale). Collezione Parona, Università di Torino;
- fig. 5 - Sezione trasversale della valva sinistra dell'olotipo di *Sabinia anienis*, con perimetro subcircolare, percorsa dal complesso sistema di canali nello strato aragonitico del guscio. Cave di Pietra, Subiaco (Appennino centrale). Collezione Parona, Università di Torino;
- fig. 6 - Sezione sottile di un frammento di *Sabinia sp.* con i canali a sezione poligonale (CPo). Cave di Pietra, Subiaco (Appennino centrale). Base della foto=1.2 cm;
- fig. 7 - Sezione sottile di un frammento di *Sabinia sp.* con i canali a sezione piriforme (CPi). Cave di Pietra, Subiaco (Appennino centrale). Base della foto=1.5 cm;

PLATE III

- Fig. 1 - Bioclastic limestone with massive stratification bearing canaliculate radiolitid calcite upper valves “*Kuehnia sp.*” (center of the photo, C). Santa Maria dei Bisognosi, Affilani Mountains (central Apennines);
- fig. 2 - Bioclastic limestone with radiolitid lower valve of *Pseudopolyconites sp.* (Ps), showing typical tubular projections. Santa Maria dei Bisognosi, Monti Affilani (Appennino centrale);
- fig. 3 - Transverse section of the left valve of the holotype of *Sabinia sublacensis* showing the complex canal system in the aragonitic shell. Cave di Pietra, Subiaco, (central Apennines). Peel, Collezione Parona, Università di Torino;
- fig. 4 - Side view of the holotype of *Sabinia sublacensis* with both the valves. Cave di Pietra, Subiaco, (central Apennines). Collezione Parona, Università di Torino;
- fig. 5 - Transverse section of the left valve of the holotype of *Sabinia anienis* with sub-circular perimeter, showing the complex canal system in the aragonitic shell. Cave di Pietra, Subiaco, (central Apennines). Collezione Parona, Università di Torino;
- fig. 6 - Thin section of a *Sabinia sp.* fragment showing canals with polygonal shape (CPo). Cave di Pietra, Subiaco (central Apennines). Base of the photo is 1.2 cm;
- fig. 7 - Thin section of a *Sabinia sp.* fragment showing canals with pyriform shape (CPi). Cave di Pietra, Subiaco (central Apennines). Base of the photo is 1.5 cm;

